

أهمية التصوير الومضاني الطبي $^{99m}\text{Tc-HMPAO SPECT}$ في كشف تبدلات التروية الدموية الدماغية في مرض التوحد

*الدكتور حمزة شبيب

(تاریخ الإیادع 7 / 5 / 2013. قبیللنشر فی 21 / 7 / 2013)

□ ملخص □

أجري الفحص الومضاني الطبي للدماغ $^{99m}\text{Tc-HMPAO SPECT}$ ل 22 طفلاً مصاباً بالتوحد والتخلف العقلي ول 8 أطفال يعانون من التخلف العقلي كشاهد. تبين بنتيجة الفحص الومضاني الطبي أن هناك نقص تروية دماغية مؤثراً في الفصوص الصدغية والمنطقة المهدادية والنوى القاعدية للمتوضدين، مقارنة مع مجموعة الشاهد. تناسبت الأعراض السريرية للمتوضدين مع نقص التروية في المنطقة المهدادية، ولم تتناسب مع نقص التروية في بقية المناطق. لم يثبت إحصائياً فروقاً مؤثرة بالنسبة لعمر المرضى، تقدير عمرهم العقلي، وزنهم، ومحيط رأسهم بين المتوضدين ومجموعة الشاهد، بينما كان هناك فروقاً إحصائية مؤثرة بين المتوضدين ومجموعة الشاهد بالنسبة لمقاييس تقييم التوحد الطفولي، قائمة السلوك الشاذ التي تشمل الإثارة، البلادة، التكرارية، النشاط الزائد والإفراط في الكلام. أثبتت الدراسة فعالية المعالجة المناسبة في بعض المتوضدين الذين لديهم نقص تروية دماغية بدون وجود تبدلات بنوية دماغية سواء بالتصوير الطبي المحوري أو بالرنين المغناطيسي.

الكلمات المفتاحية: التصوير الومضاني الطبي، التوحد

* أستاذ مساعد - قسم الأورام - كلية الطب - جامعة تشرين - اللاذقية - سوريا.

Important of Spect ^{99m}Tc-Hmpao for Detecting Brain Perfusion Changes in Mentally Retarded Autistic Patients

Dr. Hamzeh Chebib*

(Received 7 / 5 / 2013. Accepted 21 / 7 / 2013)

□ ABSTRACT □

^{99m}Tc HMPAO single-photon emission computed tomography (SPECT) brain perfusion was conducted in 22 mentally retarded autistic individuals and 8 patients with mental retardation as control group. Autistic patients had significantly lower perfusion than control group in the following brain regions: temporal lobes, basal ganglia, and thalamus. Signs and symptoms were correlated to decreased regional perfusion in the thalamic region, but no correlation between symptoms and decreased regional perfusion in the rest of the brain lobes. Statistically, no significant differences between autistic and control group for, age, assessment of mental age, weight and head circumference, while there were statistically significant differences between autistic patients and control group related to childhood autism rating scale, and aberrant behavior checklist (irritability, lethargy, stereotypic behaviors, hyperactivity and excessive speech). The study demonstrated the effectiveness of appropriate treatment in some autistic patients with brain hypoperfusion on ^{99m}Tc HMPAO-SPECT without detection of structural changes on CT or MRI.

Key Words: ^{99m}Tc-HMPAO SPECT, Autism

*Associated Professor, Department of Oncology, Faculty of Medicine, Tishreen University, Lattakia, Syria

مقدمة:

التوحد هو اضطراب أو تنازز سلوكي يشتمل على وجود خلل في التفاعل الاجتماعي، شذوذات في التواصل اللغوي بين الفرد والمجتمع ، وأسلوب حصري، تكراري ونمطي من السلوك عند المصاب بالتوحد [1, 2, 3,4]. يعد التوحد حديثاً ناجماً عن عجز دماغي عضوي استناداً على عدة شواهد. أولاً، يتراافق التوحد في 70% من الحالات بالخلف العقلي وبمستوى ذكاء أقل من 70% ومع نوبات عصبية في 33% من الحالات [5,6] . ثانياً، احتمال إصابة الأقارب حوالي 3-5%, والذي يتتفاوت مع نسبة حدوث للتوحد في هؤلاء 75 مرة أكثر مقارنة مع المجموعات الطبيعية والميل لإصابة الذكور بنسبة 1:3، مفترضاً دور العامل الوراثي كمهيئ للمرض [7,8,9,10].

تشير بحوث التصوير العصبي البنحي بواسطة التصوير الطيفي المحوري والرنين المغناطيسي إلى وجود شذوذات أو تشوهات في بعض البنى التشريحية الدماغية التي تتضمن القشرة الدماغية، الجهاز البطيني والمخيّج في المتصودين البالغين والأطفال [11]. بينما ظهرت بحوث متاقضة وغير متكررة بالرنين المغناطيسي حول تبدلات في كل من المخيّج [13, 12], اللوزة [15, 14], والحسين [15,16]. وقد فسر ذلك بسبب المناهج والطرق المستخدمة (الاختلاف في معدلات الذكاء، مجال العمر للمصابين بالتوحد، تضمين وجود حالات صرع وغيرها في البحوث، الاعتماد على رسم المنطقة المعنية يديرياً والتخير الناجم وبالتالي عن معالجة هذه المعلومات الخ...). فيما أثبتت بحوث متعددة حديثاً بواسطة الرنين المغناطيسي أيضاً زيادة في حجم الدماغ عند المتصودين [14,17,18,19,20]. لاحقاً ومن خلال دراسات بالرنين المغناطيسي اعتماداً على التحليل الحجمي لصور المناطق الدماغية (Voxel Based Morphometry: VBM) لوحظ نقص في المادة الرمادية في الفص الصدغي [21]، وفي دراسة أخرى في الناحية الجبهية الصدغية [22]. بناءً على ما تقدم، لا يوجد توافق تام حول التغيرات البنوية المشاهدة والتي يمكن على أساسها وضع تعريف حصري للتوحد.

كان دخول الفحوص الوظيفية للدماغ التي تشمل التصوير البوزيتروني (Positron Emission Tomography: PET) والتصوير الومضاني الطيفي للدماغ (Single Photon Emission Computed Tomography: SPECT) طريقة واحدة جديدة في دراسة الخلل الدماغي للمصابين بالتوحد. تسمح هاتان الطريقتان غير الراضتين بقياس دقيق لمعدل التدفق الدموي الدماغي أو قياس معدل استقلاب الغلوكوز الدماغي. تشير كثير من البحوث بالتصوير الوظيفي للدماغ إلى وجود نقص تروية دماغية في العديد من المناطق الدماغية والتي شوهدت في الفص الصدغي، الجبهي والجداري وفي مناطق أخرى أيضاً على الرغم من عدم وجود تبدلات بنوية (فحص الطيفي المحوري والرنين المغناطيسي سلبيين) في الدماغ [23, 24, 25, 26, 27, 28, 29, 30].

أهمية البحث وأهدافه :

يهدف البحث إلى كشف نقص التروية الدماغية المنطقية في مرضى التوحد باستخدام التصوير الومضاني الطيفي ومطابقتها للأعراض السريرية في مرضى التوحد و إمكانية معالجة بعض حالات التوحد بالموسعة الوعائية الدماغية.

طرائق البحث ومواده:

تم فحص مجموعة من 22 طفلاً مصابين بالتوحد والخلف العقلي و 8 أطفال لديهم تخلف عقلي من دون وجود أعراض التوحد لديهم كمجموعة شاهد. تمت الدراسة في مستشفى الملك عبد العزيز الجامعي بالطائف في الفترة بين كانون ثاني 2010 إلى كانون أول 2012. تم إرسال أطفال التوحد إلى قسم الطب النووي من قبل مستشفى الأطفال بالطائف -وحدة الطب النفسي في المستشفى وهي على اتصال بجمعية الأطفال المتوفدين بالطائف. تشخيص التوحد كان مثبتاً لدى كل الأطفال المشمولين بالبحث اعتماداً على عدة وسائل تشخيصية والتي شملت: 1-المقابلة التشخيصية للتوحد (Autism Diagnostic Interview: ADI) 2-الدليل التشخيصي والإحصائي في التخلف العقلي (Diagnostic and statistical manual of mental Retardation: DSM-IV) ، 3- وقياس تقييم التوحد الطفل (Child Autism Rating Scale: CARS) ، 4- قائمة السلوك الشاذ (Aberrant Behavior Checklist: ABC) و 5-قياس مستوى الذكاء اعتماداً على (WISC: Wechsler Intelligence Scale of Children) إضافة للفحوص الدموية والشعاعية الأخرى.

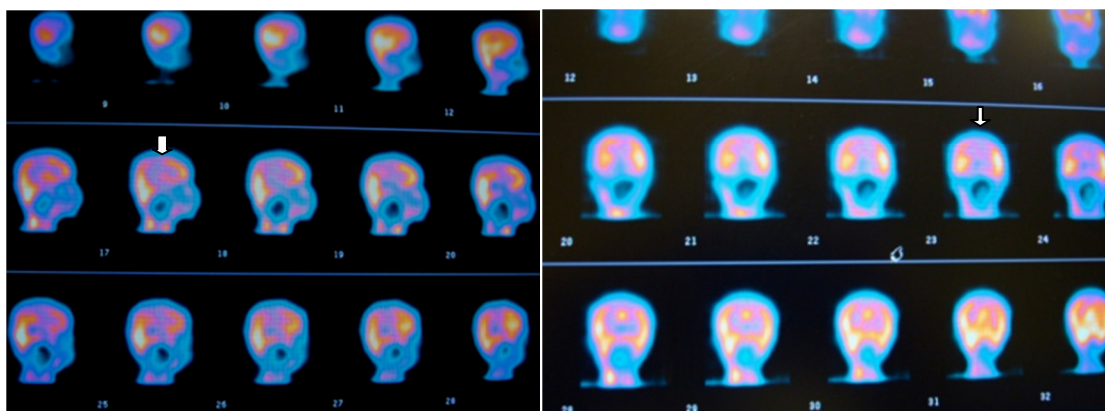
-فحص التروية الدموية بالتصوير الومنصاني الطبي (SPECT Examination):

تم حقن العقار المشع

Tecnetium-99m d, l, hexamethylpropyleneamine oxim ($^{99m}\text{Tc HMPAO}$; Ceretex [examethazime], Amersham International)

وريدياً بمقادير يتناسب مع وزن الطفل (0.1–0.2 mCi/kg) أو عمره. يوضع الطفل مستلقياً مغمض العينين في جو هادئ مع تمرير الخط الصمامي الحاجي عمودياً وفي مركز حقل الرؤية للكاميرا. 6 من مرضى التوحد و 4 من مجموعة الشاهد خضعوا للتحدير قبل التصوير وبعد حقن المادة المشعة بمدة تقارب الساعة وبمساعدة طبيب تخدير مختص. تم التصوير بعد ساعة من الحقن بواسطة الكاميرا الغامية الطبية ثنائية الكاشف من نوع صوفا الفرنسية (SPECT Dual Head Gamma Camera: Sopho DST.Xli) المجهزة بمسند منخفض الطاقة عالي التمييز (High Resolution Collimator) وبمصفوفة (Matrix) من 64 X 64. تم الحصول على 64 صورة من خلال دوران بمقادير 360 درجة، بمعدل 30 ثانية لزمن تلقي الصور. تمت

معالجة الصور بمساعدة فلتر بوترورث (Butterworth Filter) بتردد (Frequency) من 0.5 وسماكنة شرائح من 1 بكسيل (البكسيل [عنصر صورة] = 6,4 mm). تم إعادة توجيه المقاطع التي خضعت لعملية إعادة بناء والحصول على 30 من المقاطع المحورية، السهمية والتاجية (الشكل 1). تم رسم المنطقة باستخدام ثلاثة عناصر صورة مضروبة بثلاثة معطية قياساً لنسبة الفعالية الشعاعية في المقاطع المحورية، معتمداً المخيخ كشاهد أو أساس. $3 \times 3 \text{ pixel} (\text{Voxel: } 3 \times 3 \times 1 \text{ pixel}) = 2,35 \text{ cm}^3$



الشكل 1: من اليسار: المقاطع السهمية لدماغ مريض متوحد عمره 4 سنوات يوجد لديه نقص تروية دماغية في المنطقة الجبهية الجدارية ويميناً المقاطع التاجية في دماغ نفس المريض (الأسهم العمودية).

أخذت قياسات شعاعية لكل منطقة دماغية مشمولة بالدراسة من الناحية الأمامية والخلفية والمناطق الصدغية، الجبهية، الجدارية، المهداد والمنطقة الققوية في نصف الكرة الدماغية. تم أخذ القيم المتوسطة لكل منطقة في ناحية الدماغ اليمنى واليسرى. قيست مناطق في المخيخ أيضاً. لتحديد فعالية المنطقة النسبية (العد الشعاعي في المنطقة الدماغية/العد الشعاعي في منطقة المخيخ) يقسم العد الشعاعي لكل منطقة من القشر الدماغي على متوسط العد الشعاعي للمنطقة المخيخية اليمنى واليسرى المحسوب على أساس المتوسط لأعلى عد شعاعي مسجل. استخدمت هذه النسبة كمعيار لقياس التدفق الدموي الدماغي النسبي المنطقي (Regional Cerebral Blood Flow) لعدم وجود أبحاث سابقة تشير إلى وجود نقص تروية مخيخي في حالات التوحد.

التحليل الإحصائي

اعتمد التحليل الإحصائي على تحليل المتغير الثلاثي التشارك (Three-way ANCOVA) و اختبارات توكي (Tukey) الخاصة. تم حساب تردد التوزيعات (Frequency Distribution) اعتماداً على اختبارات كي مربع (chi-square) و تصحيح ياتس (Yates correction) . أما بالنسبة لقيم الاحتمالات فكانت ثنائية الطرف (two-tailed)

النتائج والمناقشة:

النتائج

تظهر النتائج الإحصائية الديموغرافية والنفسية في مجموعة المرضى (الجدول 1) أنه لم يلاحظ فروق إحصائية ذات أهمية بالنسبة للجنس والอายุ (t = 0,31, p = 0,46)، أو للعمر العقلي (t = 0,65, p = 0,5)، ولا بالنسبة لمعدل الذكاء (t = 1,57, p = 0,11) بين مرضى التوحد ومجموعة الشاهد. أيضاً لم تكتشف فروق إحصائية ذات أهمية بالنسبة لكل من الطول، محيط الرأس و الوزن. ولكن كما هو متوقع فقد كان هناك فروق إحصائية ذات أهمية بين المجموعتين بالنسبة لقياس تقييم التوحد في الطفولة (Child Admission Rating Scale: CARS) حيث إن المقياس كان أعلى بالنسبة لمرضى التوحد مقارنة مع مجموعة الشاهد (t = 5,4, df = 42, p < 0.0001). أظهر مرضى التوحد أيضاً مقاييس أعلى من مجموعة الشاهد لكل متغير من قائمة السلوك الشاذ على حدة: بالنسبة للانفعال (t = 6,20, df = 42, p < 0.0001)، البلاهة (t = 3,26, df = 42, p < 0.01)، النشاط الزائد (t = 5,71, df = 42, p < 0.01)، الإفراط في الكلام (t = 2,50, df = 42, p < 0.05) و النمطية والتكرارية (t = 1,95, df = 42, p < 0.05).

الجدول 1: النتائج الإحصائية الديموغرافية والنفسية في مجموعة مرضى التوحد والشاهد

المتغير (variable)	مجموعة مرضى التوحد	مجموعه الشاهد
عدد المرضى	22	8
الجنس، العدد (%) إناث)	(4) 18	(%) 25
العمر الزمني (سنوات)	11,2 +- 8,1	11,2 +- 5
العمر العقلي (سنوات)	2,7 +- 2,4	4,6 +- 3,2
أداء الذكاء	31,5 +- 17,4	45,3 +- 31,2
الطول (سم)	134,9 +- 25,8	140,7 +- 17
محيط الرأس (سم)	52,7 +- 4,3	51,9 +- 3,7
الوزن (كغ)	40,2 +- 18,1	41,1 +- 17,8
مقياس تقييم التوحد في الطفولة (CARS) **	44,2 +- 7,7	25,7 +- 12,9
القائمة المرجعية للسلوك الشاذ(ABC)		
* *	17,3 +- 7,9	8,2 +- 6,4
** *	16,3 +- 9,9	6,9 +- 6,3
* *	10,2 +- 5,6	6,5 +- 4,4
* *	19,5 +- 13,6	9,8 +- 6,1
* *	3,6 +- 3,3	1,4 +- 1,3

ملاحظة: ماعدا عمر المرض وجنسه، فإن الأرقام تمثل المتوسط + الانحراف المعياري (Mean + SD).

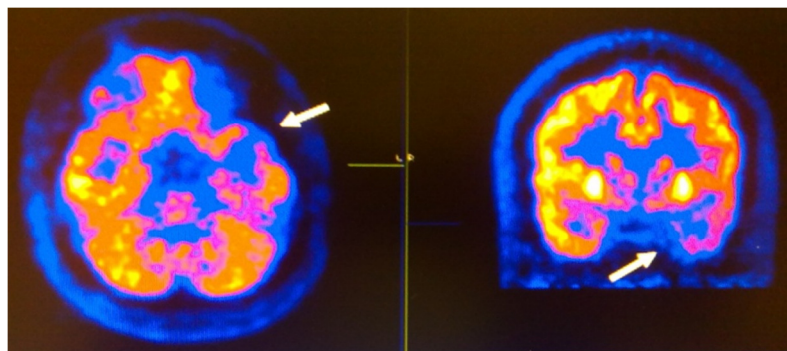
*p<0.05, **p<0.01

الجدول 2: القيم المتوسطة للتروية الدماغية المناطقية في مجموعة مرضى التوحد ومجموعة الشاهد بواسطة التصوير الومنصاني الطيفي (منطقة دماغية/منطقة مخيية) $\times 100$

مجموعه الشاهد		مرضى التوحد		
الأيمن	الأيسر	الأيمن	الأيسر	المنطقة الدماغية
85.3 +- 6.4	84.4 +- 7.7	84.9 +- 10.9	83.5 +- 10.6	الفص الجبهي
103.2 +- 13.4	104.3 +- 13.9	94.1 +- 8.9	93.0 +- 8.3	الفص الصدغي
90.8 +- 7.7	93.9 +- 7.9	89.1 +- 7.8	88.9 +- 7.1	الفص الجداري
96.4 +- 13.3	95.6 +- 13.7	93.2 +- 8.9	95.1 +- 8.6	الفص القبوي
107.5 +- 14.8	106.5 +- 17.2	99.7 +- 13.6	97.6 +- 15.8	النوى القاعدية
100.2 +- 14.6	98.2 +- 16.2	89.9 +- 8.9	87.9 +- 9.5	المهداد

أظهر التحليل الإحصائي (Three-way ANCOVA) بعد قياسات العد الشعاعي المتكررة للمناطق الدماغية بواسطة الا SPECT أن هناك نقص تروية دماغية مؤثراً بشكل إجمالي في مرضى التوحد مقارنة مع مجموعة الشاهد

($F = 8.13, df = 1.41, p < 0.01$). كما أكد التحليل الإحصائي هذا النقص المؤثر للتروية بتحليل بياني للمناطق والنواحي الدماغية في كل من مجموعة التوحد ومجموعة الشاهد ($F = 2.02, df = 9,378, p < 0.05$) . أثبت التحليل الخاص لتوكى أن هناك نقص تروية دماغية مؤثراً في مرضى التوحد مقارنة مع مجموعة الشاهد في المناطق الدماغية التالية: الفص الصدغي (الشكل 2) ($p < 0.0001$) ، (النوى القاعدية ($p < 0.0001$) ، والمهاد ($P < 0.0001$)



الشكل 2: نقص تروية دماغية في الفص الصدغي الأمامي الأيسر في مريض توحد عمره 11 سنة

لاستبيان العلاقة بين الحالة السريرية للمريض والموجبات الومضانية الطبقية، تم حساب العلاقة التبادلية بين ثلاثة عناصر من المقابلة الشخصية للتوحد (ADI) و التروية النسبية للمناطق الدماغية التي كانت ناقصة في مرضى التوحد مقارنة مع مجموعة الشاهد. لقد وجد ترابط قوي ($p < 0.01$) بين درجة السلوك التكراري النمطي ونقص التروية المشاهد في المنطقة المهدية اليمنى واليسرى ($r = -0.40, r = -0.42$). لقد تضمن مجال السلوك التكراري النمطي مaily: سوء التواصل الاجتماعي، عدم القدرة على التغير في الروتين اليومي، اضطراب وظائف حسية. بينما لم يتم في هذه الدراسة إثبات ترابط بين الاضطرابات عند المرضى المتوفدين ونقص التروية الحاصل في المناطق الدماغية المعنية الأخرى.

تم معالجة 13 مريضاً بأدوية مناسبة ولوحظ تحسن في الناحية السلوكية بعد فترة ثلاثة أشهر من العلاج في تسعة من تواصلوا معنا.

المناقشة:

لقد تمت الدراسة باستخدام التصوير الومضاني الدماغي الطيفي باستخدام الدا HMPAO الموسوم بالتكنيسيوم المشع 99م ($^{99m}\text{Tc-HMPAO}$ SPECT) في مجموعة من مرضى التوحد ومجموعة من المتخلفين عقلياً كمجموعة شاهد في البحث.

يسمى تجارياً $^{99m}\text{Tc-hexamethyl-propylene amine oxime}$ Ceretec وعلمياً $^{99m}\text{Tc}-hexamethyl-propylene amine oxime$ وهو أول مستحضر اعتمد من قبل جمعية الغذاء والدواء الأمريكية (FDA) لدراسة التروية الدماغية. ينقط في الدماغ بسرعة بعد حقنه الوريدي ويصل قمة تبيته في الدقيقة العاشرة. يبقى انتشاره المحلي ثابتاً لعدة ساعات وهو متناسب طرداً مع التدفق الدموي المحلي للدماغ. يتحول بعد انتشاره عبر الحاجز الوعائي الدماغي من مركب محب للبييد إلى آخر محب للماء والذي يمنع من رجوعه للدم ويؤدي وبالتالي إلى احتباسه في النسيج الدماغي نتيجة تفاعل كيميائي مع الغلوتاتيون الذي يوجد بكمية قليلة في الخلايا الدماغية. يبقى توزعه ثابتاً ومستقراً في النسيج الدماغي مدة 8 ساعات تقريباً بعد الحقن.

كان من الصعوبة بمكان أن اختار لمجموعة الشاهد أفراناً أصحاء لعدم وجود مبرر تعريضهم لإشعاع غير ضروري ولذلك تم اختيار مجموعة الشاهد من المرضى المختلفين عقلياً الذين يبرر لهم إجراء تصوير ومضانى دماغي في سياق تشخيصهم النهائي.

تأتي أهمية اكتشاف خلل في التروية الدماغية من كون تبدلات التروية الدماغية تتناسب إلى حد كبير مع معدل استقلاب الغلوكوز الدماغي للمنطقة المعنية [31]. وبما أن الكثير من حالات التوحد لاترافق بدأة بوجود (اضطراب تشريري؛ بنوي) فإن اكتشاف نقص تروية دماغية (اضطراب وظيفي) عند المتوحد ومعالجته بطريقة مناسبة قد يمنع من حدوث تبدلات بنوية دماغية مستقبلية أو يوقف على الأقل هذه التبدلات المرضية.

لقد وجد بنتيجة البحث أن هناك نقص تروية ذات أهمية في الفصوص الصدغية، النوى القاعدية والمهداد في مرضي التوحد مقارنة مع مجموعة الشاهد ووجد أيضاً ترابطًا قوياً بين نقص التروية في منطقة المهداد وبين الأعراض السريرية الخاصة بذلك الفص لمرضي التوحد.

نتوافق نتائج بحثنا هذه مع الكثير من البحوث التي أجريت سابقاً حيث أكد *Starkstein* ومساعدوه [32] من خلال دراسة تروية الدماغ المنطقية باستخدام التصوير الومنصاني الطيفي بالـ $^{99m}\text{Tc-HMPAO}$ على 30 طفلاً متوحداً و 14 شاهداً وجود نقص تروية مؤثر في الفص الصدغي الأيمن، الفصين القحفيين الأيمن والأيسر، في المهداد الأيمن والأيسر وفي النوى القاعدية اليسرى في مجموعة مرضى التوحد مقارنة مع مجموعة الشاهد. كما أثبت الباحث وجود ترابط قوي بين نقص التروية المهدادي وأعراض السلوك التكراري النمطي لدى مرضى التوحد. أثبتت *Mountz* ومساعدوه [23] باستخدام التصوير الومنصاني الطيفي والـ $^{99m}\text{Tc-HMPAO}$ في ستة أطفال مصابين بالتوحد أن هناك نقص تروية دماغي منطقي في الفصين الصدغى والجدارى بينما لاحظ زيادة تروية دماغية في في الفصوص الجبهية في ثلاثة من هؤلاء الأطفال. لاحظ *Ohnishi* ومساعدوه أيضاً [33] باستخدام التصوير الومنصاني الطيفي بالـ $^{99m}\text{Tc-ECD}$ وجود نقص تروية ثانى الجانب في الفص الصدغي في 23 طفلاً متوحداً مقارنة مع 26 من أفرانهم الأصحاء. كذلك وفي العام نفسه ، وفي دراسة مستقلة أثبتت *Zilbovicius* ومساعدوها [25] وجود نقص تروية ثانى الجانب في الفص الصدغي عند مرضى التوحد مقارنة مع مجموعة الشاهد بقياس التروية الدماغية المنطقية باستخدام التصوير الومنصاني البوزيترونى والماء الموسوم بالأكسجين المشع 15 وقد ترافق هذا النقص في التروية بشكل قوي مع وجود أعراض نقص وظيفية سمعية وعاطفية ومعرفية. وجد *Degirmenci* ومساعدوه [34] وجود نقص تروية في المنطقة القشرية للفصين الصدغين ، للفصين الجبهيين وفي المنطقة القشرية للفصين الجداريين بعد قياس معدل التروية الدماغي المناطقي النسبي باستخدام التصوير الومنصاني الطيفي. بينما وجد *Gupta and Ratnam* [35] نقص تروية دماغية مؤثر في الفصين الجبهيين والفصين الصدغين في مرضي التوحد مقارنة مع مجموعة الشاهد بعد قياس معدل التروية الدماغي المناطقي النسبي باستخدام التصوير الومنصاني الطيفي بالـ $^{99m}\text{Tc-HMPAO}$. كذلك أثبت *1/10* ومساعده [36] نقص تروية مؤثراً في القشرة الدماغية للفصين الصدغين في 16 طفلاً مصابين بالتوحد مقارنة مع 5 أطفال كمجموعة شاهد باستخدام التصوير الومنصاني الطيفي. بينما لا نتوافق نتائجنا مع نتائج البحوث الأخرى المعنية في هذا المجال، فلم تثبت الباحثة *Zilbovicius* ومساعدوها [37] عام 1992 وجود نقص تروية دماغية قشرية منطقية باستخدام الكزنيون المشع 133 والتصوير الومنصاني الطيفي (SPECT) في 21 طفلاً مصابين بالتوحد الأولى. وكذلك الحال بالنسبة لـ *Rumsey* ومساعدوه [38] الذي استخدم التصوير البوزيترونى بالغلوكوز الموسوم بالفلورين المشع لقياس معدل الاستقلاب في مختلف المناطق الدماغية في

مرضى التوحد وفي مجموعة أطفال طبيعيين (شاهد). لم يثبت هذا البحث انخفاضاً في معدل الاستقلاب الدماغي في مختلف المناطق الدماغية بل على العكس لوحظ ارتفاع عام في معدلات الاستقلاب الدماغي في مرضى التوحد مقارنة مع مجموعة الشاهد. وبما أن معدل الاستقلاب الدماغي يتاسب بشكل عام طرداً مع التروية الدماغية يستنتج أن التروية الدماغية المنطقية لم تتأثر سلبياً في مرضى التوحد مقارنة مع مجموعة الشاهد. وجد *De volder* عام 1987 [39] معدلاً طبيعياً لاستقلاب الغلوكوز المشع وبالتالي التروية الدماغية في مرضى التوحد مقارنة مع أفراده الأصحاء. في عام 1988 استخدم *Herold* ومساعدوه [40] معدل الاستقلاب الدماغي (الغلوكوز المشع بالفلورين 18) ومعدل التروية الدماغية المنطقية (الأكسجين المشع 15) حيث وجد أنه لا يوجد فروق مؤثرة سواء بالنسبة لمعدل الاستقلاب أو بالنسبة لمعدل التروية الدماغية المنطقية بين مرضى التوحد والأطفال الطبيعيين يمكن تفسير هذه النتائج السلبية نتيجة لمحودية المناهج المستخدمة، حيث تمت الدراسات السابقة بأجهزة تصوير ذات قوة تمييز ضعيفة نسبياً (20 مم). إضافة لذلك، اعتمدت تلك الطرق كلها في تحليل المعطيات على رسم المنطقة الدماغية المعنية والتي تسمح بتحليل مناطق دماغية كبيرة، وهذا يمكن للتبدلات الدماغية البؤرية أن تكون قد أغفلت باستخدام تقنيات الأجيال الأولى من أجهزة التصوير الدماغي الوظيفي [26].

تفيد البحوث الحديثة وجود التهاب أعصاب مزمن وتديق مجهرى في دماغ مريض التوحد [41]، وهذا يزيد من فرضية أن التغيرات النسيجية المزمنة القابلة للمعالجة يمكن أن تتضمن أيضاً حالات نقص التروية الدماغية. تتضمن الآلية المرضية للتوحد وجود تدفق مجهرى حول الأوعية الدماغية الذي يسبب نشاطاً التهابياً حول هذه الأوعية الدموية الدماغية. إن حدوث عمليات فرط أكسدة في مرضى التوحد يمكن أن يسبب نهي أكسدة للمستقبلات الموسكارينية التي تضبط توسيع الأوعية الدموية الصغيرة [42] وبالتالي حدوث نقص التروية الدماغية.

يمكن تفسير عدم التلازم بين التبدلات السلوكية ونقص التروية للمنطقة المصابة في معظم مرضانا إلى أن العلاقة بين الآلية الإмарاضية في الدماغ والسلوك الناجم عن ذلك ليست علاقة ترابط قوية بل هي فضفاضة نوعاً ما حيث إن العوامل المنسوبة للآلية المرضية الحيوية في منطقة ما تؤثر على السلوك، ولكن بشكل غير مباشر ومن خلال العديد من العوامل الوسيطية (جونسون 2002، توماس و كارميلوف 2002، كارميروف سميث وتوماس 2003، هيربريت و زيغлер 2005). فمثلاً، انتشار أو توزع النسج المصابة نتيجة تغير في الآلية الخلوية أو الجزيئية (الاختلاف المنطقي أو المحلي في قابلية هذه النسج أن تكون عرضة لاضطراب الجهاز المناعي) يمكن أن يتداخل مع التبدلات في الناحية السلوكية المعززة للجهاز العصبي ولكن قد لا يتوزع بالتساوي أو بشكل نوعي على ذلك النظام السلوكي. وهذا التفسير قد يتوافق مع تأثير العامل الوراثي الذي يفيد أن التأثير الجهازي بمرض وراثي يسبب ضعفاً في النسج المصاب ونقصاً في تروية هذا النسج، وليس فقط تعديلاً سلوكياً ناجماً عن انتشار النسج المصاب في فص محدود.

إن وجود نقص التروية الدماغية المكتشفة بواسطة التصوير الومضاني الطيفي مع عدم وجود تبدلات بنوية (رنين مغناطيسي وطبقي محوري طبيعي في نفس المرض) يعطي أملاً في قابلية معالجة هؤلاء المرضى وعودة الوظيفة الدماغية. لقد تم بناء على ذلك معالجة 13 حالة من هذا النوع من مجموع مرضانا بالمossuات الدماغية الوعائية وأدوية متممة . وتبين بعد ذلك التحسن في التواهي السلوكية في 9 من استطعنا التواصل معهم.

الاستنتاجات والتوصيات:

الاستنتاجات

- 1- يظهر التصوير الومنصاني الطيفي التبدلات الوظيفية الناجمة عن وجود نقص تروية دماغي منطقي (صدغي، مهادي، ..) والذي قد يكون بمعزل عن وجود تبدلات بنوية
- 2- لاترافق التبدلات الوظيفية الناجمة عن نقص التروية الدماغي المنطقي دائمًا مع التبدلات السلوكية والأعراض السريرية الخاصة بتلك المنطقة المصابة
- 3- يمكن أن يكون للعلاج الدوائي دور في كثير من الحالات وخاصة تلك التي لاترافق مع وجود تبدلات دماغية بنوية

التوصيات

يجب مشاركة الفحوص الوظيفية مثل التصوير الومنصاني الطيفي مع الفحوص التشريحية البنوية (الرنين المغناطيسي والطيفي المحوري) للحصول على الصورة الكاملة للتبدلات الدماغية التي توجد في مرض التوحد والتي قد تساهم في معالجة وتدبير هذا المرض في المستقبل.

المراجع:

- 1- BAILEY, A, PHILIPS, W, and RUTTER, M. *Autism: Towards an Integration of Clinical, genetic, Neuropsychological, and Neurobiological Perspective*. J Child Psychol Psychiatry. U.S.A. Vol. 37, No. 16, 1996- pp. 877-900.
- 2- KANNER, L. *Autistic disturbances of Effective Contact*. Nervous Child. England. 2, 1943-pp. 217-250.
- 3- BELMONTE, MK, ALLEN, G, BECKEL-MITCHENER, A, et al. *Autism and Abnormal Development of Brain Connectivity*. Journal of Neuroscience. England. Vol. 24, No. 42, 2004- pp. 9228-9231.
- 4- GOODMAN, R. *Infantile Autism: A syndrome of Multiple Primary Deficits*. J Autism and Dev Disord. U.S.A. Vol. 19, No3. 1989- pp. 409-424.
- 5- GILLBERG, C, and COLEMAN, M. *Autism and Medical Disorders: A review of the Literature*. Developmental Medicine and Child Neurology. England. Vol. 38, No. 3, 1996- pp. 191-202.
- 6- GILLBERG, C, and COLEMAN, M. *The Biology of Autistic Syndrome*. 3rd edition- High Holborn House, 2007- London.
- 7- FIRTH, U. *Autism Explaining the Enigma*. 2nd edition- Blackwell Publishing, 2003- London.
- 8- FOMBONNE, E. *The Epidemiology of Autism: A Review*. Psychological Medicine. England. Vol. 29, No. 4, 1999- pp. 769-786.
- 9- FOMBONNE, E. *Epidemiological Trends in Rates of Autism*. Molecular Psychiatry. U.S.A. 7 suppl. 2002- 2, S4-S6.
- 10- FOMBONNE, E. *The Prevalence of Autism*. JAMA. U.S.A. Vol. 289, No. 1, 2003- pp. 87-89.
- 11- CODY, H, PELPHRY, K, and PIVEN, J. *Structural and Functional Magnetic Resonance Imaging of Autism*. International Journal of Developmental Neuroscience. U.S.A. Vol. 20, No.3-5, 2002- pp. 421-438.

- 12- COURCHESNE, E, YEUNG-COURCHESNE, R, PRESS, GA, et al. *Hypoplasia of Cerebellar Vermal Lobules VI and VII in Autism*. New England Journal of Medicine. Vol. 318, No. 21, 1988- pp. 1349-1354.
- 13- PIVEN, J, SALIBA, K, and ARNDT, S. *An MRI Study of Autism: The Cerebellum Revisited*. Neurology. U.S.A. Vol. 49, No. 2, 1997- pp. 546-551.
- 14- SPARKS, BF, FRIEDMAN, SD, SHAW, DW, et al. *Brain Structural Abnormalities in Young Children with Autism Spectrum Disorder*. Neurology. U.S.A. Vol. 59, No. 2, 2002- pp. 184-192.
- 15-AYLWARD, EH, MINSHEW, NJ, GOLSTEIN, G, et al. *MRI Volumes of Amygdala and hippocampus in Non-mentally Retarded Autistic Adolescence and Adults*. Neurology. U.S.A. Vol. 53, No. 9, 1999- pp. 2145-2150.
- 16- HOWARD, MA, COWELL, PE, BOUCHER, J, et al. *Convergent Neuroanatomical and Behavioral Evidence of an Amygdala Hypothesis of Autism*. Neuroreport. U.S.A. Vol. 11, No. 13, 2000- pp. 2931-2935.
- 17- COURCHESNE, E, KARNS, CM, DAVIS, HR, et al. *Unusual Brain Growth Patterns in Early life in Patients with Autistic Disorder*. Neurology. U.S.A. Vol. 57, No. 2, 2001- pp. 245-254.
- 18- PIVEN, J, ARNDT, S, HAVERCAMP, S, et al. *An MRI Study of Brain Size in Autism*. American Journal of Psychiatry. U.S.A. Vol. 152, No. 8, 1995- pp. 1145-1149.
- 19- PIVEN, J, NEHME, E, SIMON, J, et al. *Magnetic Resonance Imaging in Autism: Measurement of the Cerebellum, pons, and Fourth Ventricle*. Biological Psychiatry. U.S.A. Vol. 31, No. 5, 1992- pp. 491-504.
- 20- PIVEN, J, ARNDT, S, ANDREASEN, N. *Regional Brain Enlargement in Autism*. Journal of the American Academy of Child and Adolescent Psychiatry. U.S.A. Vol. 35, No. 4, 1996- pp. 530-536.
- 21- ABEL, F, KRANS, M, ASHBURNER, J, et al. *The Neuroanatomy of Autism: A Voxel-Based Whole Brain Analysis of Structural Scans*. Neuroreport. U.S.A. Vol. 10, No. 21, 1999- pp. 1647-1651.
- 22- BODAERT, N, CHABANE, N, GERAVIS, H, et al. *Superior Temporal Sulcus Anatomical Abnormalities in Childhood Autism*. Neuroimaging. U.S.A. Vol. 23, No. 1, 2004b- pp. 364-369.
- 23- MOUNTZ, JM, TOLBERT, LC, KATHOLI, CR, et al. *Functional Deficits in Autistic Disorder: Characterization by ^{99m}Tc-HMPAO and SPECT*. Journal of Nuclear Medicine. U.S.A. Vol. 36, No. 7, 1995- pp. 1156-1162.
- 24-CHUGANI, HT, DA SILVA, E, and CHUGANI, DC. *Infantile Spasm: III. Prognostic Implications of Bitemporal Hypometabolism on Positron Emission Tomography*. Annals of Neurology. U.S.A. Vol. 39, No. 5, 1996- pp. 643-649.
- 25- ZILBOVICIUS, M, BODDAERT, N, BELIN, P, et al. *Temporal Lobe Dysfunction in Childhood Autism: A PET study: Positron Emission Tomography*. American Journal of Psychiatry. U.S.A. Vol. 157, No. 12, 2000- pp. 1988-1993.
- 26- BODDAERT, N, and ZILBOVICIUS, M. *Functional Neuroimaging and Childhood Autism*. Pediatric Radiology. France. Vol. 32, No. 1, 2002- pp. 1-7.
- 27- ZILBOVICIUS, M, GARREAU, B, and SAMSOM, Y. *Delayed Maturation of the Frontal Cortex in Childhood Autism*. American Journal of Psychiatry. U.S.A. Vol. 152, No. 2, 1995- pp. 248-252.
- 28- CHIRON, C, LEBOYER, M, LEON, F, et al. *SPECT of the Brain in Childhood Autism: Evidence for a Lack of Normal Hemispheric Asymmetry*. Developmental Medicine and Child Neurology. England. Vol. 37, No. 10, 1995- pp. 849-860.

- 29- HAZENDAR, MM, BUCHSBUM, MS, METZGER, M, et al. *Anterior Singulate Gyrus Volume and Glucose Metabolism in Autistic Disorder*. American Journal of Psychiatry. U.S.A. Vol. 154, No. 8, 1997- pp. 1047-1050.
- 30- HAZENDAR, MM, BUCHSBUM, WEI, TC, et al. *Limbic Circuitry in Patients with Autism Spectrum Disorders Studied with Positron Emission Tomography and Magnetic Resonance Imaging*. American Journal of Psychiatry. U.S.A. Vol. 157, No. 12, 2000- pp. 1994-2001.
- 31- SOKOLOFF, L, REIVICH, M, KENNEDY, C, et al. *^{14}C -deoxyglucose Method for Measurement of Local Cerebral Glucose Utilization: Theory, Procedure, Normal Values in the Conscious and Anaesthetized Albino Rat*. J Neurochem. U.S.A. Vol. 28, No. 5, 1977-pp. 897- 916.
- 32- STARKESTEIN, S, E, VAZQUEZ, S, VRANCIC, D, et al. *SPECT Findings in Mentally Retarded Autistic Individuals*. J Neuropsychiatry Clin Neurosci. U.S.A. Vol. 12, No. 3, 2000- pp. 370-375.
- 33- OHNISHI, T, MATSUDA, H, HASHIMOTO, T, et al. *Abnormal Regional Cerebral Blood Flow in Childhood Autism*. Brain. England. Vol. 123, No. 9, 2000- pp. 1838-1844.
- 34- DEGIRMENCI, B, MIRAL, S, KAYA, G, C, et al. *Technetium-99m HMPAO Brain SPECT in Autistic Children and Their Families*. Psychiatry Research: Neuroimaging. U.S.A. Vol. 162, No. 3, 2008- pp. 236-243.
- 35- GUPTA, S, K, and RATNAM, B, V. *Cerebral Perfusion Abnormalities in Children with Autism and Mental Retardation: A segmental Quantitative SPECT Study*. Indian Pediatrics. India. Vol. 46, No. 2, 2009- pp. 161-164.
- 36- ITO, H, MORI, K, HASHIMOTO, T, et al. *Findings of Brain ^{99m}Tc -ECD SPECT in High-Functioning Autism -3-Dimensional Stereotactic ROI Template Analysis of Brain SPECT*. J Med Invest. U.S.A. Vol. 52, No. 1, 2005- pp. 49-56.
- 37- ZILBOVICIUS, M, GARREAU, B, TZOURIO, N, et al. *Regional Cerebral Blood Flow in Childhood Autism: A SPECT Study*. Am J Psychiatry. U.S.A. Vol. 149, No. 7, 1992-pp. 924-930.
- 38- RUMSEY, J, M, DUARA, R, GRADY, C, et al. *Brain Metabolism in Autism. Resting Cerebral Glucose Utilization Rates as Measured With Positron Emission Tomography*. Arch Gen Psychiatry. U.S.A. Vol. 42, No. 5, 1985- pp. 448-455.
- 39- DE VOLDER, A, BOL, A, MICHEL, C, et al. *Brain Glucose Metabolism in Children with Autistic Syndrome: Positron Tomography Analysis*. Brain Dev. Japan. Vol. 9, No. 6, 1987- pp. 581-587.
- 40- HEROLD, S, FRACKWIAK, R, S, J, LE COUTEUR, A, et al. *Cerebral Blood Flow and Metabolism of Oxygen and Glucose in Young Autistic Adults*. Psychological Medicine. England. Vol. 18, No. 4, 1988- pp. 823-831.
- 41- VARGAS, D, L, NASCIMENTO, C, KRISHNAN, C, et al. *Neurological Activation and Neuroinflammation in the Brain of Patients with Autism*. Annals of Neurology. U.S.A. Vol. 57, No. 1, 2005- pp. 67-81.
- 42- ELHUSSEINY, A, and HAMEL, E. *Muscarinic -But Not Nicotinic-Acetylcholine Receptors Mediate a Nitric Oxide-Dependent Dilation in Brain Cortical Arterioles: A Possible Role for the M5 Receptor Subtype*. Journal of Cerebral Blood Flow and Metabolism. U.S.A. Vol. 20, No. 3, 2000- pp. 298-305.